

# 振動変形法によるゲルバー梁の動的解析について

徳島大学工学部 正会員 星 治雄  
 メンバーハンドル 弘行  
 メンバーハンドル 平尾 葉

## 1. はじめに

本研究は、静的解析における変形法と同様に、電子計算機を利用して動的解析を行つた有利な振動変形法に注目し、平面構造物の各種の材端条件に応じた単一部材に対する振動変形法の基本式を説明し、これらの基本式を用いて一般的な平面構造物の動的解析を行う場合の解析方法について簡単に述べ、ついで、この解析方法を梁構造物へ適用し、若干の初期データとともに、一次、二次、三次、……、必要な次数までの、自由振動時にわたり、梁構造物の固有振動数、固有振動周期および振動波形が自動的に求まるような梁構造物の動的解析プログラムを完成し、これを用いて、図-3に示すようないま江谷橋ゲルバー桁橋に対する解析結果を示したものである。

## 2. 平面構造物の単一部材に対する振動変形法の基本式

図-1のような、XY面内にある単一部材よりの材端力、材端モーメントおよび変形量の各ベクトルの正方向がすべて図の矢印の方向と一致するものとすれば、曲げに対する自由振動時の、各種の材端条件に応じた振動変形法の基本式はそれぞれつきようになる。

### 1)両端剛節部材に対して

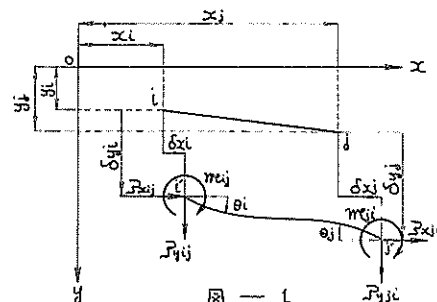
$$\begin{aligned} R_{xi,j} &= a\delta_{xi} - b\delta_{xj} + c\delta_{yi} - d\delta_{yj} - e\theta_i - f\theta_j \\ R_{yij} &= c\delta_{xi} - d\delta_{xj} + g\delta_{yi} - h\delta_{yj} + i\theta_i + j\theta_j \\ m_{xi,j} &= -e\delta_{xi} + f\delta_{xj} + i\delta_{yi} - j\delta_{yj} + k\theta_i + l\theta_j \end{aligned} \quad \left. \right\} \quad (1)$$

### 2) i 端剛節、j 端滑節部材に対して

$$\begin{aligned} R_{xi,j} &= a'\delta_{xi} - b'\delta_{xj} + c'\delta_{yi} - d'\delta_{yj} - e'\theta_i \\ R_{yij} &= c''\delta_{xi} - d''\delta_{xj} + g''\delta_{yi} - h''\delta_{yj} + i''\theta_i \\ m_{xi,j} &= -e'\delta_{xi} + f'\delta_{xj} + i'\delta_{yi} - j'\delta_{yj} + k''\theta_i \end{aligned} \quad \left. \right\} \quad (2)$$

### 3) i 端滑節、j 端剛節部材に対して

$$\begin{aligned} R_{xi,j} &= a''\delta_{xi} - b''\delta_{xj} + c''\delta_{yi} - d''\delta_{yj} - f'\theta_i \\ R_{yij} &= c'''δ_{xi} - d'''δ_{xj} + g'''δ_{yi} - h'''δ_{yj} + j'\theta_i \\ m_{xi,j} &= 0 \end{aligned} \quad \left. \right\} \quad (3)$$



### 4) 両端滑節部材に対して

$$\begin{aligned} R_{xi,j} &= a'''\delta_{xi} - b'''\delta_{xj} + c'''\delta_{yi} - d'''\delta_{yj} \\ R_{yij} &= c''''\delta_{xi} - d''''\delta_{xj} + g''''\delta_{yi} - h''''\delta_{yj} \\ m_{xi,j} &= 0 \end{aligned} \quad \left. \right\} \quad (4)$$

ここで、 $A = EI\phi^3/(1-\varsigma C)$ ,  $B = A/\phi$ ,  $D = B/\phi$ ,  $A'' = EI\phi^3/(\varsigma S - \varsigma C)$ ,  $B'' = A''/\phi$ ,  $D'' = B''/\phi$ とおこう,

$$a = A \cdot (\varsigma C + \varsigma S) \sin^2 \varphi, \quad b = A \cdot (\varsigma + S) \cdot \sin^2 \varphi, \quad c = -A \cdot (\varsigma C + \varsigma S) \cdot \sin \varphi \cdot \cos \varphi$$

$$d = -A \cdot (\varsigma + S) \cdot \sin \varphi \cdot \cos \varphi, \quad e = B \cdot (\varsigma S) \cdot \sin \varphi, \quad f = B \cdot (\varsigma - C) \cdot \sin \varphi, \quad g = A \cdot (\varsigma C + \varsigma S) \cdot \cos^2 \varphi$$

$$h = A \cdot (\varsigma + S) \cdot \cos^2 \varphi, \quad i = B \cdot (\varsigma S) \cdot \cos \varphi, \quad j = B \cdot (\varsigma - C) \cdot \cos \varphi, \quad k = D \cdot (\varsigma S - \varsigma C), \quad l = D \cdot (\varsigma - S)$$

$$a'' = A'' \cdot 2\varsigma C \cdot \sin^2 \varphi, \quad b'' = A'' \cdot (\varsigma + C) \cdot \sin^2 \varphi, \quad c'' = A'' \cdot 2\varsigma C \cdot \sin \varphi \cdot \cos \varphi, \quad d'' = -A'' \cdot (\varsigma + C) \cdot \sin \varphi \cdot \cos \varphi$$

$$e'' = B'' \cdot (\varsigma C + \varsigma S) \cdot \sin \varphi, \quad g'' = A'' \cdot 2\varsigma C \cdot \cos^2 \varphi, \quad h'' = A'' \cdot (\varsigma + C) \cdot \cos^2 \varphi, \quad i'' = (\varsigma C + \varsigma S) \cdot \cos \varphi$$

$$f'' = B'' \cdot (\varsigma + S) \cdot \sin \varphi, \quad j'' = B'' \cdot (\varsigma + S) \cdot \cos \varphi, \quad k'' = D'' \cdot 2\varsigma S$$

$$\begin{aligned}
A' &= A''(1+SC) \cdot \sin^2\varphi, \quad B' = B'', \quad C' = -A''(1+SC) \cdot \sin\varphi \cdot \cos\varphi, \quad D' = D'', \quad F' = F'', \quad K = K'', \quad J' = J'' \\
G' &= A''(1+SC) \cdot \cos^2\varphi, \quad \text{同様に}, \quad A'' = EI\dot{\varphi}^2/2GS \text{ となる} \\
C'' &= A''(SC-CS) \cdot \sin^2\varphi, \quad B'' = A''(S-S) \cdot \sin^2\varphi, \quad C'' = -A''(SC-CS) \cdot \sin\varphi \cdot \cos\varphi, \quad D'' = -A''(S-S) \cdot \sin\varphi \cdot \cos\varphi \\
G'' &= A''(SC-CS) \cdot \cos^2\varphi, \quad H'' = A''(S-S) \cdot \cos^2\varphi \text{ である。}
\end{aligned}$$

また、以上にみて、 $\Phi = \sqrt{m\omega^2/EI}$ ,  $\Theta = \sinh\Phi l$ ,  $\Xi = \cosh\Phi l$ ,  $S = \sin\Phi l$ ,  $C = \cos\Phi l$ ,  $\cos\alpha = (x_j - x_i)/l$ ,  $\sin\alpha = (y_j - y_i)/l$  である。

### 3. 基本式の一般的な平面構造物の動的解析に対する適用方法

静的解析における変形法の場合と同様に、自由振動時における各節点の力およびモーメントの釣合方程式は、式(1), ~, 式(4)を用いて、つまり式(5)のようになる。

$$\sum F_x = 0, \quad \sum F_y = 0, \quad \sum M = 0 \quad (5)$$

これらの釣合方程式を全節点について立てれば、節点変形量を未知数とした同次の多元連立一次方程式が得られる。したがって、これらの連立一次方程式が有意解をもつためには、静的解析における Stiffness matrix に相当する係数行列の determinant が 0 となることが必要である。このようにして得られる振動方程式は  $m$  ( $\omega$  自由振動数) の高次の超微量を含んだ式となり、これを解析的に解くことは不可能であるから、このような場合には、複数の  $\omega$  の値に対する係数行列の determinant,  $D_{\omega}$  を計算し、 $\omega - D_{\omega}$  曲線を描き、解となる  $\omega$  の値を見出す必要がある。

つぎに、振動波形が必要な場合には、先に求めた  $\omega$  に対して各節点における変形量のある一部分が単位量だけ変位したと仮定した場合の各節点の相対的な節点変形量を求め、これらの値を、自由振動に対する曲線の微分方程式の一般解として得られる変形曲線を節点変形量を未知数として表わした式に代入することによって各部材の振動波形が得られる。

また、節点間に集中質量  $M_{ij}$  が作用する場合には、集中質量自身の回転による慣性モーメントを無視すれば、式(5)に相当する節点間ににおける力およびモーメントの釣合方程式はつぎの式(6)のよう表わされ、 $\delta x_{ij}$ ,  $\delta y_{ij}$  の係数に  $-w^2 M_{ij}$  が加算されるだけで、あとは集中質量が作用しない場合と全く同様を取り扱うことができる。

$$\sum F_x - w^2 M_{ij} \cdot \delta x_{ij} = 0, \quad \sum F_y - w^2 M_{ij} \cdot \delta y_{ij} = 0, \quad \sum M = 0 \quad (6)$$

以上のように、本研究の対象とした自由振動の場合については、上述のような解析過程とプログラミングにおいて、平面構造物の固有振動数、固有振動周期および振動波形を比較的容易に求めることが可能であるが、強制振動とか減衰の項を考慮する場合には、このような振動変形法による平面構造物の動的解析もかなり複雑なものとなる。 $\approx 3$

### 4. 深構造物の單一部材に対する基本式

深構造物の曲げに対する自由振動時の單一部材に対する振動変形法の基本式は、先に示した式(1)～式(4)について、 $\sin\varphi = 0$ ,  $\delta x = 0$  とおくことによりつきのよう表わされる。

1)両端剛結部材に対して

2)左端剛節、右端滑節部材に対して

$$F_{yij} = g \delta y_{ij} - h \delta y_{ij} + i \theta_i + j \theta_j \quad (7)$$

$$F_{yij} = g \delta y_{ij} - h \delta y_{ij} + i \theta_i \quad (8)$$

$$M_{ij} = i \delta y_{ij} - j \delta y_{ij} + k \theta_i + l \theta_j$$

$$M_{ij} = i \delta y_{ij} - j \delta y_{ij} + k \theta_i$$

3)左端滑節、右端剛節部材に対して

$$F_{yij} = g \delta y_{ij} - h \delta y_{ij} + j \theta_j, \quad M_{ij} = 0 \quad (9)$$

#### 4)両端滑節部材に対する

$$\sum \delta y_i = g'' \delta y_i - h'' \delta y_j, \quad m_{ij} = 0 \quad (10)$$

以上の式(7)～(10)における各係数,  $g$ ,  $h$ ,  $i, j, \dots, g'', h''$ は, それぞれ, 式(1)～(4)の対応した各係数の  $\cos^2 \varphi = 1$ ,  $\cos \varphi = 1$  ( $x_j - x_i > 0$ ), および,  $\cos \varphi = -1$  ( $x_j - x_i < 0$ ) とおいたものと一致する。

#### 5. 構造物の单一部材に対する振動変形曲線

梁構造物の各種の材端条件に応じた单一部材に対する自由振動時の振動変形曲線の方程式は, 2.で述べたように曲げに対する自由振動時の微分方程式の一般解,  $y = C_1 \sin \varphi x + C_2 \cos \varphi x + C_3 \sinh \varphi x + C_4 \cosh \varphi x$ , 材端条件を用いて, 部材変形量を未知数とした以下のような形でえられる。

##### 1)両端剛接部材に対する

$$y(x) = \{(\Theta C + \Theta S) \cdot \sin \varphi x + (\Theta C - \Theta S - 1) \cdot \cos \varphi x - (\Theta C + \Theta S) \cdot \sinh \varphi x + (\Theta C + \Theta S - 1) \cdot \cosh \varphi x\} \delta y_i / 2X \\ + \{(\Theta - S) \cdot \sin \varphi x + (\Theta - C) \cdot \cos \varphi x + (\Theta + S) \cdot \sinh \varphi x + (\Theta - C) \cdot \cosh \varphi x\} \delta y_j / 2X \\ + \{(\Theta C + \Theta S - 1) \cdot \sin \varphi x + (\Theta C - \Theta S) \cdot \cos \varphi x + (\Theta C - \Theta S - 1) \cdot \sinh \varphi x - (\Theta C - \Theta S) \cdot \cosh \varphi x\} \Theta i / 2\varphi X \\ + \{(\Theta - C) \cdot \sin \varphi x + (S - \Theta) \cdot \cos \varphi x - (\Theta - C) \cdot \sinh \varphi x + (\Theta - S) \cdot \cosh \varphi x\} \Theta j / 2\varphi X \quad (11)$$

##### 2)し端剛接, 2)端滑節部材に対する

$$y(x) = \{(-\Theta C) \cdot \sin \varphi x + (\Theta S) \cdot \cos \varphi x + (\Theta C) \cdot \sinh \varphi x + (-\Theta C) \cdot \cosh \varphi x\} \delta y_i / Y \\ + \{(\Theta + C) \cdot \sin \varphi x + (-\Theta - S) \cdot \cos \varphi x + (-\Theta - C) \cdot \sinh \varphi x + (\Theta + S) \cdot \cosh \varphi x\} \delta y_j / 2Y \\ + \{(-\Theta C) \cdot \sin \varphi x + (\Theta S) \cdot \cos \varphi x + (\Theta S) \cdot \sinh \varphi x + (-\Theta S) \cdot \cosh \varphi x\} \Theta i / \varphi Y \quad (12)$$

##### 3)し端滑節, 2)端剛接部材に対する

$$y(x) = \{(-\Theta C - \Theta S - 1) \cdot \sin \varphi x + (\Theta S - \Theta C) \cdot \cos \varphi x + (\Theta C - \Theta S + 1) \cdot \sinh \varphi x + (\Theta S - \Theta C) \cdot \cosh \varphi x\} \delta y_i / 2Y \\ + \{(\Theta) \cdot \sin \varphi x + (-C) \cdot \sinh \varphi x\} \delta y_j / Y \\ + \{(-\Theta) \cdot \sin \varphi x + (S) \cdot \sinh \varphi x\} \Theta j / \varphi Y \quad (13)$$

##### 4)両端滑節部材に対する

$$y(x) = [(-\Theta C) \cdot \sin \varphi x + (\Theta S) \cdot \cos \varphi x + (-\Theta S) \cdot \sinh \varphi x + (\Theta S) \cdot \cosh \varphi x] \delta y_i + [(\Theta) \cdot \sin \varphi x + (S) \cdot \sinh \varphi x] \delta y_j / \Theta S \quad (14)$$

ここで,  $X = (\Theta C - 1)$ ,  $Y = (\Theta S - \Theta C)$  であり, 中,  $\Theta$ ,  $S$ ,  $C$  は式(1)～(4)における場合と同様である。

2.で述べたと同様の解析方法により, 梁構造物の場合にも, 式(7)～(10)を用いて, 各節点で, 式(5)式(6)に相当した節点方程式, 式(15), (16)を立て, 得られた釣合方程式の係数行列の determinant を 0 における振動角数の式から, 議論し演算により,  $\omega$  の値を求め, このとき,  $\omega$  の値に対する各節点の釣合方程式から, 任意の変形量があるがそれが単位量だけ変化したと仮定した場合の相対的な各節点の変形量を求め, 材端条件を考慮して, 式(11)～(14)に代入し,  $x$  に適当な値をもってやれば, 各部材の振動波形および全体の振動波形が得られる。

#### 6. 振動変形法による動的解析プログラムについて

前述のような解析方法で, 振動変形法による平面棒構造物の動的解析を行なうことができるが, よく簡単な構造物以外は早速計算機で解析することは不可能であり, やはり電子計算機を利用することが必要となる。本研究では, 電子計算機(TOSBAC-3400)の容量の点から, 構造物を対象として若干の初期のデータをもとに, 一次, 二次, ..., 必要な次数までの固有振動数, 固有振動周期および振動波形が自動的に求まるような動的解析プログラムを作成したが, 上述のように, 平面棒構造物の場合も, 梁構造物の場合と同様な解析手順で解析できるから, この梁構造物の動的解析プログラムの

单一部材に対する基本式の部分と、各節点における釣合方程式の部分を多少手直しすみだりで、平面構造物の動的解析プログラムも作成可能である。ここでは、プログラムの詳しい説明は省略し、計算機の行なう演算の流れを図-2のフローチャートで示す。

なお、この解析プログラムの振動波形をプロットする3部分だけはTOSBAC-3400のカーブプロット用のサブループrogram、CURVE(X, AMAX, AMIN, 0)を利用して實行させて貰った。

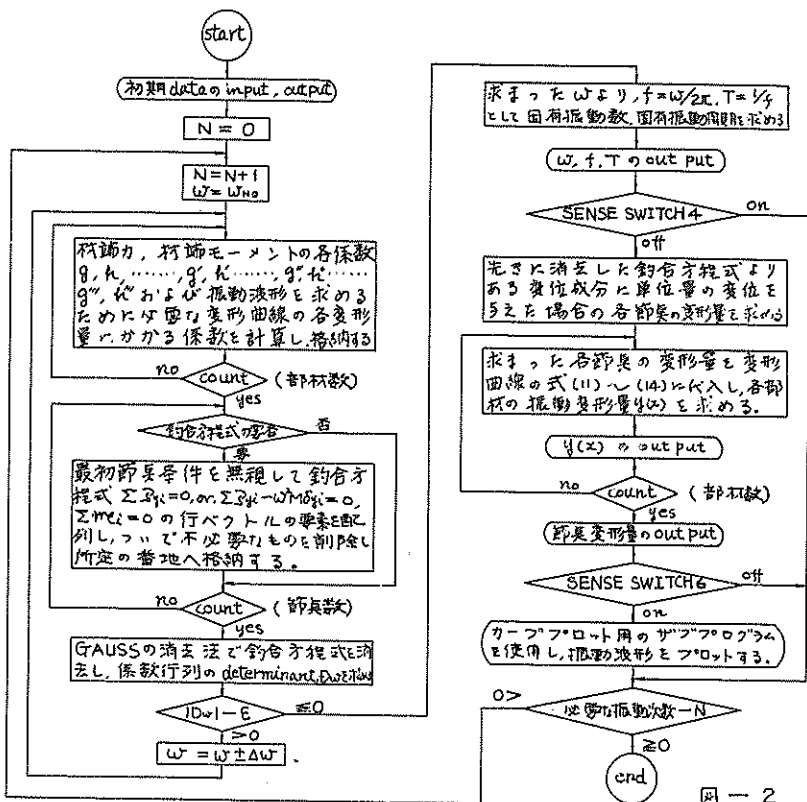


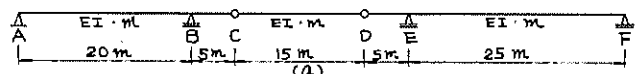
図-2

#### 7. 計算例

計算例としては図-3に示すような曾江谷橋ゲルバー桁橋(43年度に当研究室で応力測定実施)について、1)ゲルバー桁橋とした場合(図-3(a)), 2)突出し架の先端に集中質量が作用した場合(図-3(b),(c))について解説した結果を、実測値とともに紹介するがその詳細は講演会当日に耳れす。

#### 8. 参考文献

- 1) 谷口修: 振動工学 コロナ社
- 2) ジコブセン・エーア: 振動工学 (後藤尚男訳) 丸善株式会社
- 3) 星見嶋: 振動変形法による格子桁の固有振動数の計算法ならびに模型実験について。(第2回発表)
- 4) 岡正英: 平面骨組構造の固有振動解析 日立造船技術(1967-11)
- 5) 大屋竹之: 立体骨組構造の振動特性 日本建築学会論文報告集, 第149号, 昭和43年7月
- 6) W. Steinbach: Zur Anwendung der Deformationsmethode bei der Schwingungsberechnung. Der Bauingenieur.



$$EI = 7.50682 \times 10^2 \text{ kg} \cdot \text{sec}^2/\text{cm}^3, m = 0.0365449 \text{ kg} \cdot \text{sec}^2/\text{cm}^3, M_{A,B} = 27.40868 \text{ kg} \cdot \text{sec}^2/\text{cm}$$



図-3

